

1 第一题

1. Prove that $\|Bx\| \geq \|x\|/\|B^{-1}\|$, for any non singular matrix B .

证明. $\|B^{-1}\| = \sup_{y \neq 0} \frac{\|B^{-1}y\|}{\|y\|} \Rightarrow \|B^{-1}y\| \leq \|B^{-1}\| \cdot \|y\|$

令 $y = Bx$, 则 $B^{-1}y = x$.

代入上式得 $\|x\| \leq \|B^{-1}\| \cdot \|Bx\|$.

即 $\|Bx\| \geq \|x\|/\|B^{-1}\|$.

□

2 第二题

- (a) Verify that when \bar{A} is nonsingular, we have

$$\bar{A}^{-1} = A^{-1} - \frac{A^{-1}ab^T A^{-1}}{1 + b^T A^{-1}a}$$

证明. 右乘 $(A + ab^T)$, 右边 $= A^{-1}(A + ab^T) - \frac{A^{-1}ab^T A^{-1}(A + ab^T)}{1 + b^T A^{-1}a}$

$$= I + A^{-1}ab^T - \frac{A^{-1}ab^T + A^{-1}ab^T A^{-1}ab^T}{1 + b^T A^{-1}a}$$

$$= I + \frac{A^{-1}ab^T(1 + b^T A^{-1}a) - A^{-1}ab^T - A^{-1}ab^T A^{-1}ab^T}{1 + b^T A^{-1}a}$$

$$= I$$

左边 = 右边得证。

□

- (b) Using the above formula to show that

$$B_{k+1} = B_k + \frac{(y_k - B_k s_k)(y_k - B_k s_k)^T}{(y_k - B_k s_k)^T s_k}$$

is the inverse of

$$H_{k+1} = H_k + \frac{(s_k - H_k y_k)(s_k - H_k y_k)^T}{(s_k - H_k y_k)^T y_k}$$

where $H_k^{-1} = B_k$ is symmetric, $s_k = x_{k+1} - x_k$ and $y_{k+1} = \nabla f(x_{k+1}) - \nabla f(x_k)$.

证明. 令 $A = H_k$, $a = s_k - H_k y_k$, $b^T = \frac{(s_k - H_k y_k)^T}{(s_k - H_k y_k)^T y_k}$

$$\begin{aligned}
H_{k+1}^{-1} &= (H_k + ab^T)^{-1} = B_{k+1} \\
&= (H_k)^{-1} - \frac{H_k^{-1}ab^T H_k^{-1}}{1 + b^T H_k^{-1}a} \\
&= B_k - \frac{B_k ab^T B_k}{1 + b^T B_k a} \\
&= B_k - \frac{B_k(s_k - H_k y_k) \cdot \frac{(s_k - H_k y_k)^T}{(s_k - H_k y_k)^T y_k} \cdot B_k}{1 + \frac{(s_k - H_k y_k)^T}{(s_k - H_k y_k)^T y_k} \cdot B_k(s_k - H_k y_k)} \\
&= B_k + \frac{(y_k - B_k s_k)(s_k - H_k y_k)^T B_k}{(s_k - H_k y_k)^T y_k + (s_k - H_k y_k)^T B_k(s_k - H_k y_k)} \\
&= B_k + \frac{(y_k - B_k s_k)(B_k s_k - B_k H_k y_k)^T}{(s_k - H_k y_k)^T (y_k + B_k s_k - B_k H_k y_k)} \\
&= B_k + \frac{(y_k - B_k s_k)(y_k - B_k s_k)^T}{(y_k - B_k s_k)^T s_k}.
\end{aligned}$$

□

3 第三题

我用最速下降法和牛顿法分别求解了 Rosenbrock 函数和 Beale 函数的最优解, 结果如下表所示, 其中最速下降法步长的回溯线搜索我使用了 Armigo condition, 即 $f(x + \alpha p) \leq f(x) + c\alpha \nabla f(x)^T p$ 。

表 1: 最速下降法和牛顿法求最优解

Function	Method	Iterations	x^*	$f(x^*)$	$\ \nabla f(x^*)\ $
Rosenbrock	Steepest Descent	100 (max)	[0.934384, 0.872610]	0.004327	1.02×10^{-1}
	Newton	7	[1.000000, 1.000000]	0.000000	8.29×10^{-9}
Beale	Steepest Descent	100 (max)	[-1.596594, 1.428288]	1.198996	5.10×10^{-1}
	Newton	2	[0.000000, 1.000000]	14.203125	0.00×10^0

从表 1 可以看出, 对于 Rosenbrock 函数, 最速下降法和牛顿法都找到了较好的 (近似) 最优解, 但牛顿法只用了 7 次迭代就找到了精确的最优解, 而最速下降法在 100 次迭代后仍未收敛。

对于 Beale 函数, 最速下降法似乎一开始找错了方向导致无法找到正确的最优解 (如图 3), 而牛顿法由于 Hessian 矩阵是负定的无法收敛, 在 2 次迭代后一直卡在点 (0, 1)。

下面是迭代路径图:

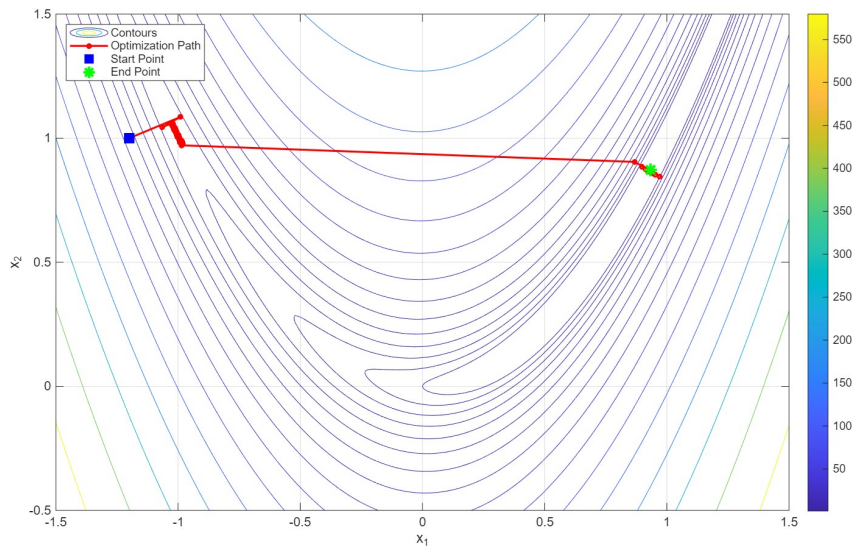


图 1: Rosenbrock(steepest descent)

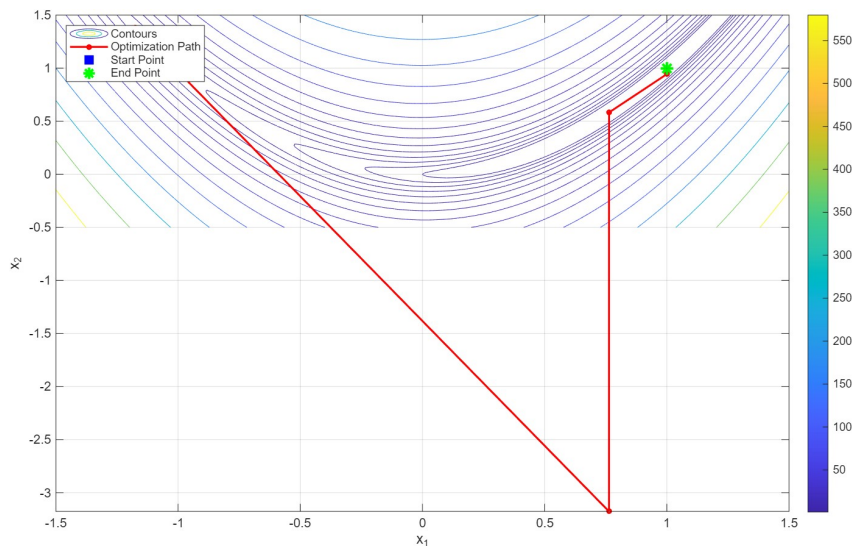


图 2: Rosenbrock(newton)

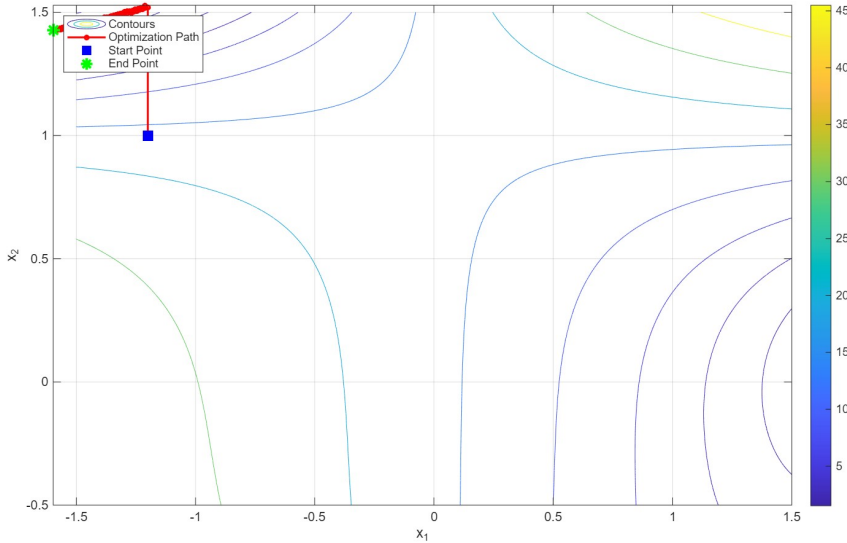


图 3: Beale(steepest descent)

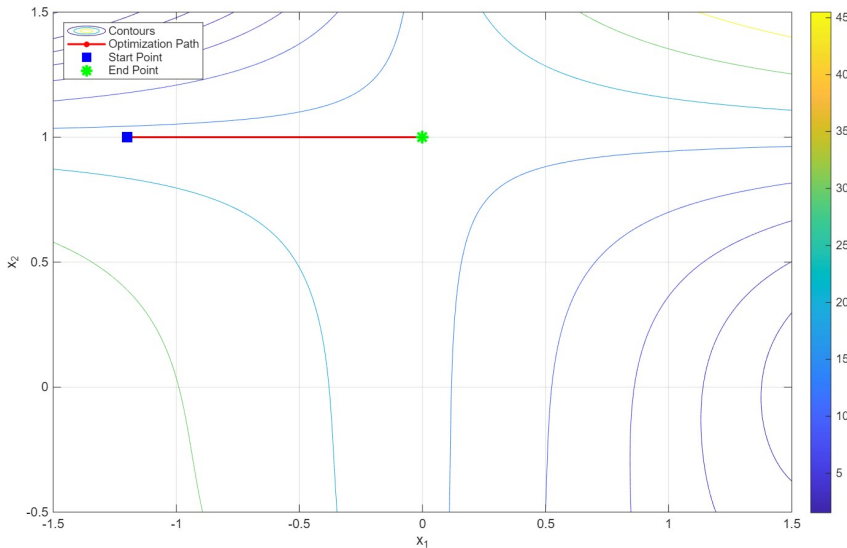


图 4: Beale(newton)

4 第四题

易知全局最优是 $(0, 0, 0, 0)^T$.

根据牛顿法收敛定理, $f(x)$ 二次连续可微, x^* 为极小点且满足 $\nabla f(x^*) = 0$ 。若 Hessian 矩阵 $\nabla^2 f(x^*)$ 正定, 且在 x^* 的邻域内满足 Lipschitz 条件:

$$|G_{ij}(x) - G_{ij}(y)| \leq L\|x - y\|, \quad \forall i, j, \quad (1)$$

则对充分靠近 x^* 的初始点 x_0 , 牛顿法产生的序列 $\{x_k\}$ 收敛到 x^* , 且具有二次收敛速度:

$$\lim_{k \rightarrow \infty} \frac{\|x_{k+1} - x^*\|}{\|x_k - x^*\|^2} < \infty. \quad (2)$$

而在精确一维搜索条件下, 带步长因子的牛顿法产生的迭代序列 $\{x_k\}$ 满足:

- 若 $\{x_k\}$ 为有限点列, 则对某个 k , 有 $\nabla f(x_k) = 0$ (算法在某一步停止);

- 若 $\{x_k\}$ 为无穷点列, 则 $\{x_k\}$ 收敛到 f 的唯一极小值点 (全局收敛)。

我分别用普通的牛顿法和带步长因子的牛顿法求解了该问题, 其中步长的回溯线搜索仍然使用了 Armigo condition。在不同的 σ 和初始点下, 结果如下表所示:

表 2: 牛顿法和带步长因子的牛顿法

σ	Initial Point	Method	Iterations	x^*	$f(x^*)$
1.0×10^0	$x_0 = (\cos 70^\circ, \sin 70^\circ, \dots)$	Pure Newton	9	$[0.000000, 0.000000, 0.000000, 0.000000]$	7.694412×10^{-15}
1.0×10^0	$x_0 = (\cos 70^\circ, \sin 70^\circ, \dots)$	Newton with Line Search	24	$[0.000000, 0.000000, 0.000000, 0.000000]$	1.821270×10^{-13}
1.0×10^0	$x_0 = (\cos 50^\circ, \sin 50^\circ, \dots)$	Pure Newton	10	$[0.000000, 0.000000, 0.000000, 0.000000]$	1.667507×10^{-30}
1.0×10^0	$x_0 = (\cos 50^\circ, \sin 50^\circ, \dots)$	Newton with Line Search	24	$[0.000001, 0.000001, 0.000000, 0.000000]$	3.663454×10^{-13}
1.0×10^4	$x_0 = (\cos 70^\circ, \sin 70^\circ, \dots)$	Pure Newton	20	$[0.000000, 0.000000, 0.000000, 0.000000]$	4.277472×10^{-15}
1.0×10^4	$x_0 = (\cos 70^\circ, \sin 70^\circ, \dots)$	Newton with Line Search	29	$[0.000000, 0.000000, 0.000000, 0.000000]$	2.077721×10^{-13}
1.0×10^4	$x_0 = (\cos 50^\circ, \sin 50^\circ, \dots)$	Pure Newton	20	$[0.000001, 0.000000, 0.000000, 0.000000]$	3.686010×10^{-13}
1.0×10^4	$x_0 = (\cos 50^\circ, \sin 50^\circ, \dots)$	Newton with Line Search	28	$[0.000001, 0.000000, 0.000000, 0.000000]$	3.187173×10^{-13}

从表 2 中可以看出, 对于不同的初始点和 σ , 两种方法都能收敛到全局最优解 $(0, 0, 0, 0)^T$, 且带步长因子的牛顿法在迭代次数上要远多于普通的牛顿法。这是因为当初始步长不满足回溯线搜索的 Armigo 条件时, 步长会缩小, 从而产生了更多的迭代次数。

初始点对收敛速度没有产生太大的影响, 但 σ 的增大使迭代次数显著增加。这是因为, 随着 σ 的增大, 在远离最优解的区域, 牛顿法依赖的局部二次函数近似变得不准确。

在这道题中我尝试了 $f(x + \alpha p) \leq f(x) + c\alpha \nabla f(x)^T p$ 中不同的 c 的取值, 当 c 取 0.5 时, 初始步长取为 1 一直满足 Armigo 条件, 导致步长没有变化, 迭代过程与普通牛顿法完全相同; 当 c 取 0.6 时, 首次步长违背 Armigo 条件的迭代次数如下表所示:

表 3: 首次步长减小的迭代次数

σ	初始点	首次步长减小的迭代次数
1.0×10^0	$(\cos 70^\circ, \sin 70^\circ, \dots)$	6
1.0×10^0	$(\cos 50^\circ, \sin 50^\circ, \dots)$	6
1.0×10^4	$(\cos 70^\circ, \sin 70^\circ, \dots)$	17
1.0×10^4	$(\cos 50^\circ, \sin 50^\circ, \dots)$	18

为了更好地比较收敛速度, 我分别计算了最后几次迭代时 $R_l = \frac{\|x_{k+1}\|}{\|x_k\|}$ 和 $R_q = \frac{\|x_{k+1}\|}{\|x_k\|^2}$ 的值, 如下表所示:

表 4: 收敛速度

σ	Initial Point	Method	Iter. (k)	$\ x_k\ $	线性率 $R_l = \frac{\ x_{k+1}\ }{\ x_k\ }$	二次率 $R_q = \frac{\ x_{k+1}\ }{\ x_k\ ^2}$		
1.0	$x_1^{(0)}$	Pure Newton	5	9.62×10^{-2}	0.2902	3.02		
			6	2.79×10^{-2}	0.0448	1.60		
			7	1.25×10^{-3}	10^{-4}	0.08		
	$x_2^{(0)}$	Newton with Line Search	21	2.41×10^{-6}	0.5000	2.07×10^5		
			22	1.21×10^{-6}	0.5000	4.14×10^5		
	$x_1^{(0)}$	Pure Newton	6	4.07×10^{-2}	0.0892	2.19		
10^4			7	3.63×10^{-3}	0.0008	0.23		
			8	3.05×10^{-6}	≈ 0	0.00		
$x_2^{(0)}$	Newton with Line Search	21	3.42×10^{-6}	0.5000	1.46×10^5			
		22	1.71×10^{-6}	0.5000	2.92×10^5			
$x_1^{(0)}$	Pure Newton	16	1.27×10^{-3}	0.3718	292.95			
		17	4.72×10^{-4}	0.1118	236.95			
		18	5.28×10^{-5}	0.0018	33.23			
$x_2^{(0)}$	Newton with Line Search	26	2.58×10^{-6}	0.5000	1.94×10^5			
		27	1.29×10^{-6}	0.5000	3.88×10^5			
		注: $x_1^{(0)} = (\cos 70^\circ, \sin 70^\circ, \cos 70^\circ, \sin 70^\circ)^T$, $x_2^{(0)} = (\cos 50^\circ, \sin 50^\circ, \cos 50^\circ, \sin 50^\circ)^T$ 。 R_l 和 R_q 分别代表线性和二次收敛率的估计值。						

从表 4 中可以看出, 纯牛顿法具有二次收敛的性质, 当趋于最优解时, $R_q = \frac{\|x_{k+1}\|}{\|x_k\|^2}$ 趋于一个有限的常数满足二次收敛的定义 $\lim_{k \rightarrow \infty} \frac{\|x_{k+1} - x^*\|}{\|x_k - x^*\|^2} < \infty$ 。当 σ 变大时, 二次收敛常数 R_q 也显著增大到 200-300 之间, 与前面的分析相符合。

带线搜索的牛顿法在此问题上并未表现出二次收敛, 而是退化为线性收敛, $R_q = \frac{\|x_{k+1}\|}{\|x_k\|^2}$ 趋于 ∞ , 而 $R_l = \frac{\|x_{k+1}\|}{\|x_k\|}$ 稳定在 0.5 附近。这是因为前面所提到的 Armijo 条件的 c 取得太严格, 导致最后几步迭代的步长一直被缩小到 0.5。

5 第五题

Barzilai-Borwein 法的公式如下, 令:

$$\mathbf{s}_k = \mathbf{x}_k - \mathbf{x}_{k-1}, \quad (3)$$

$$\mathbf{y}_k = \nabla f(\mathbf{x}_k) - \nabla f(\mathbf{x}_{k-1}), \quad (4)$$

则最速下降法的步长可以由下式计算:

$$\alpha_k = \frac{\mathbf{s}_k^T \mathbf{s}_k}{\mathbf{s}_k^T \mathbf{y}_k} = \frac{\|\mathbf{s}_k\|^2}{\mathbf{s}_k^T \mathbf{y}_k}. \quad (5)$$

对于不同的 μ , 我分别用最速下降法和 Barzilai-Borwein 法求解了 Lasso 问题

$$\min_x f(x) = \frac{1}{2} \|Ax - b\|^2 + \mu L_\delta(x). \quad (6)$$

结果如下表所示:

表 5: 最速下降法和 Barzilai-Borwein 法求解 Lasso 问题

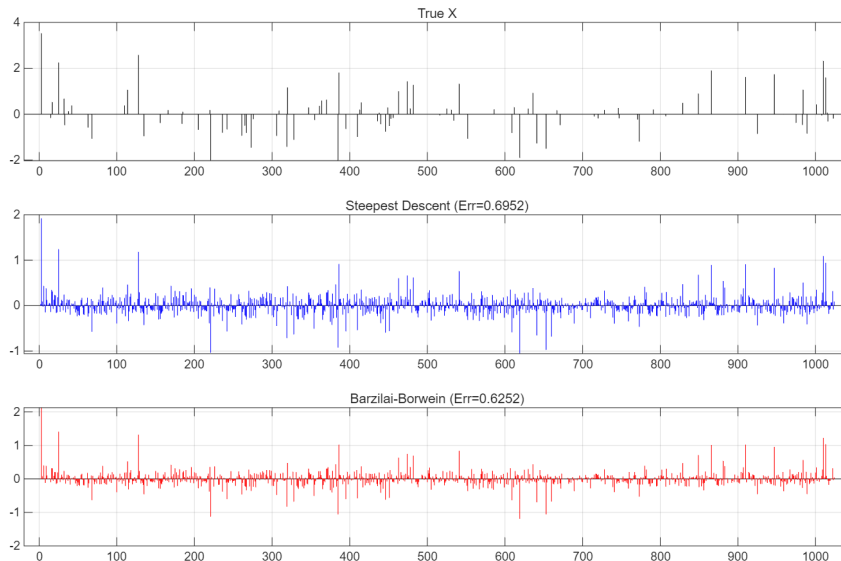
μ	Method	Iterations	$f(x^*)$	Error	Time (s)
1.0e-2	Steepest Descent	2000	1.471862	0.6952	0.9729
	Barzilai-Borwein	2000	1.311111	0.6252	0.1604
1.0e-3	Steepest Descent	2000	0.151870	0.7125	0.4076
	Barzilai-Borwein	2000	0.144063	0.6829	0.0875

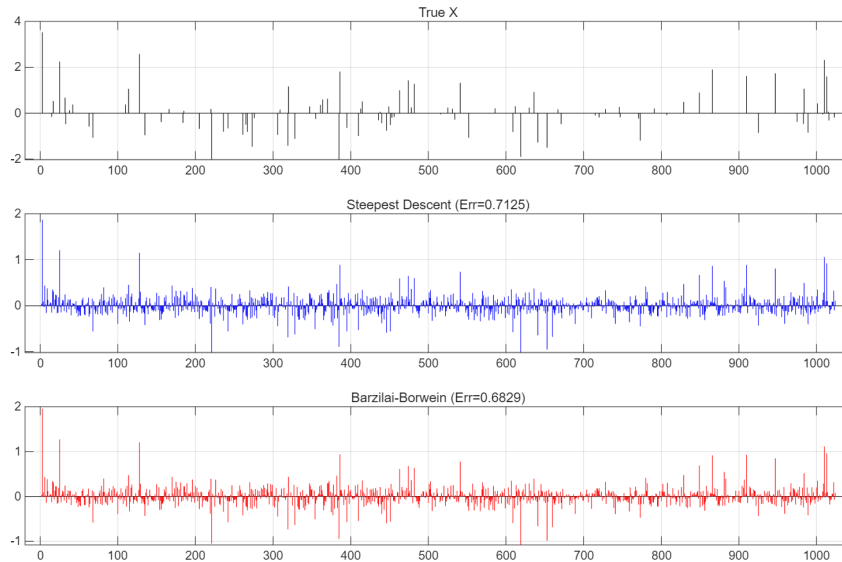
其中误差由下式计算:

$$\text{Err}_{L1} = \frac{\|x - x_{\text{true}}\|_1}{\|x_{\text{true}}\|_1}, \quad (7)$$

从表 5可以看出, Barzilai-Borwein 法在相同的迭代次数下, 计算时间明显少于最速下降法, 并且在目标函数值和相对误差方面也表现得更好一些。当然, 两种方法的相对误差都比较大, 超过了 0.6, 说明在求解 Lasso 问题时, 这两种方法的效果都不是特别理想。

下面是真实解与两种方法求得的解的对比图:

图 5: $\mu = 1.0e - 02$

图 6: $\mu = 1.0e - 03$

```

1 function [x, val, history] = steepest_descent(func, grad, x0,parameters)
2 % STEEPEST_DESCENT
3 % Inputs:
4 %     func      - 目标函数
5 %     grad      - 目标函数的梯度
6 %     x0        - 初始点
7 %     parameters - 参数
8 % Outputs:
9 %     x         - 最优解
10 %    val       - 最小值
11 %    history   - 迭代历史
12
13 % 设置默认参数
14 if ~isfield(parameters, 'tol'), parameters.tol = 1e-6; end
15 if ~isfield(parameters, 'max_iter'), parameters.max_iter = 1000; end
16
17 x = x0;
18 history.x_path = {x};
19 history.f_path = {func(x)};
20
21 for i = 1:parameters.max_iter
22     g = grad(x);
23     val = func(x);
24
25     if norm(g) < parameters.tol
26         fprintf('\nConverged successfully.\n');
27         break;
28     end
29
30 % 回溯线搜索(满足Armigo condition)
31 alpha = 1;
32 beta = 0.5;
33 c = 1e-4;

```

```

34     p = -g;
35     while func(x + alpha * p) > val + c * alpha * (g' * p) % Armijo condition
36         alpha = beta * alpha;
37     end
38
39     % 更新参数
40     x = x + alpha * p;
41     history.x_path{end+1} = x;
42     history.f_path{end+1} = func(x);
43 end
44
45 if i == parameters.max_iter
46     fprintf('\nReached max iterations without convergence.\n');
47 end
48
49 val = func(x);
50 history.iterations = i;
51 end

```

Listing 1: 最速下降法

```

1 function [x,val, history] = newton(func, grad, hessian, x0, parameters)
2 % NEWTON法
3 % Inputs:
4 %     func      - 目标函数
5 %     grad      - 目标函数的梯度
6 %     hessian    - 目标函数的Hessian矩阵
7 %     x0        - 初始点
8 %     parameters - 参数
9 % Outputs:
10 %     x         - 最优解
11 %     val       - 最小值
12 %     history   - 迭代历史
13
14 % 设置默认参数
15 if ~isfield(parameters, 'tol'), parameters.tol = 1e-6; end
16 if ~isfield(parameters, 'max_iter'), parameters.max_iter = 100; end
17
18 x = x0;
19 % history.x_path = {x};
20 n = length(x0);
21 history.x_path = zeros(n, parameters.max_iter + 1);
22 history.x_path(:, 1) = x;
23 history.f_path = {func(x)};
24
25 for i = 1:parameters.max_iter
26     g = grad(x);
27     H = hessian(x);
28
29     if norm(g) < parameters.tol
30         fprintf('\nConverged successfully.\n');
31         break;

```

```

32     end

33
34     % 求解步长 p: H*p = -g
35     p = -H \ g;

36
37     x = x + p;
38     % history.x_path{end+1} = x;
39     history.x_path(:, i+1) = x;
40     history.f_path{end+1} = func(x);
41 end

42
43 if i == parameters.max_iter
44     fprintf('\nReached max iterations without convergence.\n');
45 end

46
47 val = func(x);
48 history.iterations = i;
49 history.x_path = history.x_path(:, 1:i+1);
50 end

```

Listing 2: 牛顿法

```

1 function [x, val, history] = newton_line_search(func, grad, hessian, x0, parameters)
2
3     if ~isfield(parameters, 'tol'), parameters.tol = 1e-6; end
4     if ~isfield(parameters, 'max_iter'), parameters.max_iter = 100; end
5
6     x = x0;
7     n = length(x0);
8     % history.x_path = {x};
9     history.x_path = zeros(n, parameters.max_iter + 1);
10    history.x_path(:, 1) = x;
11    history.f_path = {func(x)};
12    history.alphas = [];
13
14    for i = 1:parameters.max_iter
15        g = grad(x);
16        H = hessian(x);
17        f_val = func(x);
18
19        if norm(g) < parameters.tol
20            fprintf('\nConverged successfully.\n');
21            break;
22        end
23
24        % 求解步长 p
25        p = -H \ g;
26
27        % 回溯线搜索 (满足Armijo Condition)
28        alpha = 1;
29        % alpha = alpha_init;      % 初始步长
30        beta = 0.5;

```

```

31     c = 0.6;
32     while func(x + alpha * p) > f_val + c * alpha * (g' * p) % Armijo Condition
33         alpha = beta * alpha;
34     end
35     % if(alpha ~= 1)
36     %     fprintf('alpha reduced to %f at iteration %d\n', alpha, i);
37     % end
38     history.alphas(end+1) = alpha;
39
40     % 更新
41     x = x + alpha * p;
42     history.x_path(:, i+1) = x;
43     % history.x_path{end+1} = x;
44     history.f_path{end+1} = func(x);
45 end
46
47 if i == parameters.max_iter
48     fprintf('\nReached max iterations without convergence.\n');
49 end
50
51 val = func(x);
52 history.iterations = i;
53 history.x_path = history.x_path(:, 1:i+1);
54 end

```

Listing 3: 带步长因子的牛顿法

```

1 function [x, val, history] = Barzilai_Borwein(func, grad, x0,parameters)
2 % STEPEST_DESCENT
3 % Inputs:
4 %     func      - 目标函数
5 %     grad      - 目标函数的梯度
6 %     x0        - 初始点
7 %     parameters - 参数
8 % Outputs:
9 %     x         - 最优解
10 %     val       - 最小值
11 %     history   - 迭代历史
12
13 % 设置默认参数
14 if ~isfield(parameters, 'tol'), parameters.tol = 1e-6; end
15 if ~isfield(parameters, 'max_iter'), parameters.max_iter = 1000; end
16
17 x = x0;
18 history.x_path = {x};
19 history.f_path = {func(x)};
20 history.alphas = [];
21 x_prev = x;
22 g_prev = grad(x);
23 for i = 1:parameters.max_iter
24     g = grad(x);

```

```

26     p = -g;
27     if norm(g) < parameters.tol
28         fprintf('\nConverged successfully.\n');
29         break;
30     end
31
32     if(i == 1)
33         % 回溯线搜索(满足Armijo condition)
34         alpha = 1;
35         beta = 0.5;
36         c = 1e-4;
37         val = func(x);
38         while func(x + alpha * p) > val + c * alpha * (g' * p)    % Armijo condition
39             alpha = beta * alpha;
40         end
41     else
42         s = x - x_prev;
43         y = g - g_prev;
44         alpha = (s' * s) / (s' * y);
45     end
46
47     x_prev = x;
48     g_prev = g;
49
50     % 更新参数
51     x = x + alpha * p;
52     history.x_path{end+1} = x;
53     history.f_path{end+1} = func(x);
54     history.alphas(end+1) = alpha;
55 end
56
57 if i == parameters.max_iter
58     fprintf('\nReached max iterations without convergence.\n');
59 end
60
61 val = func(x);
62 history.iterations = i;
63 end

```

Listing 4: Barzilai-Borwein 法